

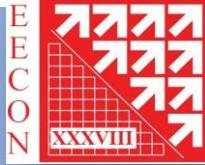


กำหนดการ
การประชุมวิชาการทางวิศวกรรมไฟฟ้า ครั้งที่ 38
The 38th Electrical Engineering Conference (EECON-38)



วันพุธที่ 18 พฤศจิกายน 2558

เวลา	ลงทะเบียน							
09:00 - 12:00								
12:00 - 13:00	รับประทานอาหารกลางวัน							
	ห้อง 1	ห้อง 2	ห้อง 3	ห้อง 4	ห้อง 5	ห้อง 6	ห้อง 7	ห้อง 8
13:00 - 13:20	PW 01	PW 28	PE 01	PE 28	BE 01	EL 02	CM 01	GN 22
13:20 - 13:40	PW 02	PW 29	PE 02	PE 29	BE 02	EL 03	CM 02	GN 23
13:40 - 14:00	PW 03	PW 30	PE 03	PE 30	BE 03	EL 04	CM 03	GN 24
14:00 - 14:20	PW 04	PW 31	PE 04	PE 31	BE 04	EL 05	CM 04	GN 25
14:20 - 14:40	PW 05	PW 32	PE 05	PE 32	BE 05	EL 06	CM 05	GN 26
14:40 - 14:50	รับประทานอาหารว่าง							
14:50 - 15:10	PW 06	PW 33	PE 06	PE 33	BEI 01	EL 07	CM 06	GN 27
15:10 - 15:30	PW 07	PW 34	PE 07	PE 34	BE 06	EL 08	CM 07	GN 28
15:30 - 15:50	PW 08	PW 35	PE 08	GN 01	BE 07	EL 09	CM 08	GN 29
15:50 - 16:10	PW 09	PW 36	PE 09	GN 02	BE 08	EL 10	CM 09	GN 30
16:10 - 16:30	PW 10	PW 37	PE 10	GN 03	BE 09	EL 11	CM 10	GN 31
17:30 - 20:00	งานเลี้ยงต้อนรับ (Welcome Party) : ล่องเรือชมเมืองเก่า							



กำหนดการ
การประชุมวิชาการทางวิศวกรรมไฟฟ้า ครั้งที่ 38
The 38th Electrical Engineering Conference (EECON-38)



วันพฤหัสบดีที่ 19 พฤศจิกายน 2558

เวลา	พิธีเปิดการประชุมวิชาการ							
09:00 - 09:20								
09:20 - 10:40	เสวนา “วิศวกรรมระบบแรงไฟฟ้ากับการพัฒนาเศรษฐกิจไทย”							
10:40 - 10:55	รับประทานอาหารว่าง							
10:55 - 12:15	AEC Synergy							
12:15 - 13:00	รับประทานอาหารกลางวัน							
	ห้อง 1	ห้อง 2	ห้อง 3	ห้อง 4	ห้อง 5	ห้อง 6	ห้อง 7	ห้อง 8
13:00 - 13:20	PW 11	PW 38	PE 11	GN 04	CTI 01	EL 01	CMI 01	GN 32
13:20 - 13:40	PW 12	PW 39	PE 12	GN 05	CT 01	EL 12	CM 11	GN 33
13:40 - 14:00	PW 13	PW 40	PE 13	GN 06	CT 02	EL 13	CM 12	GN 34
14:00 - 14:20	PW 14	PW 41	PE 14	GN 07	CT 03	DS 01	CM 13	GN 35
14:20 - 14:40	PW 15	PW 42	PE 15	GN 08	CT 04	DS 02	CM 14	GN 36
14:40 - 14:50	รับประทานอาหารว่าง							
14:50 - 15:10	PW 16	PW 43	PE 16	GN 09	CT 05	DSI 01	CM 15	ประชุม คณะกรรมการ จัดการประชุม EECON-38
15:10 - 15:30	PW 17	PW 44	PE 17	GN 10	CT 06	DS 03	CM 16	
15:30 - 15:50	PW 18	PW 45	PE 18	GN 11	CT 07	DS 04	CM 17	
15:50 - 16:10	PW 19	PW 46	PE 19	GN 12	CT 08	DS 05	CM 18	
16:10 - 16:30	PW 20	PW 47	PE 20	GN 13	CT 09	DS 06	CM 19	
18:00 - 24:00	งานเลี้ยงรับรอง (Banquet)							



กำหนดการ
การประชุมวิชาการทางวิศวกรรมไฟฟ้า ครั้งที่ 38
The 38th Electrical Engineering Conference (EECON-38)



วันศุกร์ที่ 20 พฤศจิกายน 2558

เวลา								
	ห้อง 1	ห้อง 2	ห้อง 3	ห้อง 4	ห้อง 5	ห้อง 6	ห้อง 7	ห้อง 8
09:00 - 09:20	PW 21	PW 48	PE 21	GN 14	CT 10	DS 07	CM 20	GN 37
09:20 - 09:40	PW 22	PW 49	PE 22	GN 15	CPI 01	DS 08	PHI 01	GN 38
09:40 - 10:00	PW 23	PW 50	PE 23	GN 16	CP 01	DS 09	PH 01	GN 39
10:00 - 10:20	PW 24	PW 51	PE 24	GN 17	CP 02	DS 10	PH 02	GN 40
10:20 - 10:40	PW 25	PW 52	PE 25	GN 18	CP 03	DS 11	PH 03	GN 41
10:40 - 10:50	รับประทานอาหารว่าง							
10:50 - 11:10	PW 26	PW 53	PE 26	GN 19	CP 04	CP 07	PH 04	GN 42
11:10 - 11:30	PW 27	PW 54	PE 27	GN 20	CP 05	CP 08	PH 05	GN 43
11:30 - 11:50				GN 21	CP 06			GN 44
12:00 - 13:00	รับประทานอาหารกลางวัน							

การประชุมวิชาการทางวิศวกรรมไฟฟ้า ครั้งที่ 38 (EECON-38)
การเทียบ รหัสบทความ เป็น รหัสตีพิมพ์ (โดยลำดับตามรหัสบทความ)

รหัสบทความ	รหัสตีพิมพ์	บทความ
บทความรับเชิญ		
----	CMI 01	การประยุกต์ใช้ระบบสื่อสารแบบกำหนดด้วยซอฟต์แวร์ในการส่งข้อมูลผ่านหลอดแอลอีดีสำหรับพิพิธภัณฑ์อัจฉริยะ
----	CTI 01	การระบุเอกลักษณ์แบบจำลองตัวแปรสถานะของมอเตอร์ไฟฟ้ากระแสตรงแบบไร้แปรงถ่านด้วยการค้นหาแบบนกกาเหว่า
----	DSI 01	One Dimensional Signal Decomposition using Data-driven Features
----	PHI 01	ความน่าเชื่อถือของเครื่องมือวัดทางมิติ
----	BEI 01	การพัฒนาเครื่องมือแพทย์โดยสังเคราะห์ชีวสังเคราะห์
----	CPI 01	การพัฒนาระบบจัดเก็บข้อมูลเพื่อรองรับการแบ่งปันข้อมูลความหลากหลายทางชีวภาพ
บทความปกติ		
0002	GN 01	ปัจจัยที่มีผลต่อธุรกิจพลังงานไทยสำหรับโรงไฟฟ้าชีวมวล
0004	PW 01	การจำลองการโรงไฟฟ้านิวเคลียร์ในโหมดการติดตามโหลดเพื่อรักษาเสถียรภาพความถี่
0007	PE 01	ระบบตามรอยกำลังงานสูงสุดสำหรับเซลล์แสงอาทิตย์แบบอิสระโดยใช้วิธีรบกวนและสังเกต
0008	CT 01	การประมาณขอบเขตของการมีเสถียรภาพแบบเชิงเส้นกำกับด้วยการค้นหาแบบตามเชิงปรับตัว
0009	PE 02	การควบคุมการแกว่งแบบแอคทีฟของวงจรเรขาคณิตกระแสตรงที่ปรับค่าตัวประกอบกำลังด้วยการแปลงผันแบบบัส
0011	PW 02	การประมาณสถานะสำหรับระบบจำหน่าย 22 กิโลโวลต์ของการไฟฟ้าส่วนภูมิภาค
0014	PW 03	การวิเคราะห์อุณหภูมิภายในอาหารของเตาไมโครเวฟด้วยวิธีไฟในฟิล์มลิเมนต์แบบ 3 มิติ
0015	CT 02	การระบุเอกลักษณ์ของมอเตอร์ไฟฟ้ากระแสตรงด้วยวิธีตามเชิงปรับตัวแบบหลายฟังก์ชันวัตถุประสงค์
0016	PW 04	การปรับตั้งค่าเพาเวอร์แฟกเตอร์สูงสุดของระบบผลิตไฟฟ้าจากพลังงานแสงอาทิตย์เพื่อควบคุมแรงดันในระบบจำหน่ายไฟฟ้า
0017	CM 01	FPGA Implementation of High Speed 1024-point FFT for Multi-gigabit Based band OFDM Communication Systems
0018	DS 01	วงจรกรองนอตชั๊วไออาร์แบบปรับตัวอันดับสองด้วยโครงสร้างรูปแบบตรงชนิดที่สอง
0019	GN 02	การออกแบบเครื่องกำเนิดสายส่งสัญญาณไมโครสตริปสำหรับระบบสื่อสารย่านความถี่ไมโครเวฟ
0022	PE 03	การควบคุมกระแสชดเชยของวงจรกำลังแยกที่ด้วยตัวควบคุมแบบสัดส่วนร่วมกับเรโซแนนท์สำหรับระบบไฟฟ้าสามเฟสสี่สาย
0023	GN 03	การเพิ่มประสิทธิภาพระบบผลิตไฟฟ้าด้วยโซลาร์เซลล์บนหลังคาชนิดเชื่อมต่อสายส่งโดยใช้ฟิล์มน้ำ
0024	PW 05	การวิเคราะห์คุณภาพไฟฟ้าพลังงานแสงอาทิตย์ที่ติดตั้งบนหลังคาขนาดใหญ่ร่วมกับโปรแกรม Digsilent
0027	BE 01	การนำคลื่นไฟฟ้ากล้ำเนื้อลายที่ต้นแขนไปควบคุมมีอกไฟฟ้า 2 ช่องสัญญาณ
0028	PE 04	การแบ่งกระแสโหลดของวงจรแปลงผันเต็มบริดจ์แบบเลื่อนเฟสคู่ขนาน ด้วยการตรวจจับสนแรงดันเข้า
0030	GN 04	การติดตามกำลังสูงสุดสำหรับระบบแปลงผันพลังงานลมขนาดเล็กแบบอิสระ
0031	CM 02	การประมาณค่าสัญญาณรบกวนทางเฟสและความถี่คลื่นพาห่อพดด้วยวิธีการแปลงฟูรีเยอย่างรวดเร็วสำหรับการสื่อสารข้อมูล
0032	PE 05	การบรรเทาการขาดเสถียรภาพด้วยวิธีการป้องกันแบบไม่เป็นเชิงเส้นสำหรับระบบไฟฟ้ากำลังเอชอีเป็นดีซีที่มีโหลดกำลังไฟฟ้าคงตัว
0033	EL 01	การพัฒนาชุดจ่ายแรงดันเสริมและชุดจ่ายกำลังไฟหลักของเครื่องขยายเสียงคลาส เอชดี
0037	CT 03	การกำจัดฮาร์โมนิกและปรับค่าตัวประกอบกำลังแบบปรับตัวสำหรับวงจรกำลังแยกที่ด้วยโครงข่ายประสาท
0038	PE 06	การประหยัดพลังงานสำหรับขับเคลื่อนมอเตอร์เหนี่ยวนำสามเฟส
0039	PE 07	แบบจำลองของวงจรแปลงผันกำลังไฟฟ้าแบบทบระดับแรงดันสองขั้นภายใต้การทำงานในสภาวะผิดปรกติ
0041	GN 05	Parameter Estimation of Stochastic Volatility Models using Particle Method and EM Algorithm
0043	GN 06	เครื่องจ่ายไฟแรงดันสูงกระแสตรงสำหรับการสร้างพลาสมา
0045	PH 01	ผลกระทบของจำนวนโหนดที่มากเกินไปต่อระบบสื่อสารทางแสงเชิงควอนตัม
0048	EL 02	การศึกษาสมบัติของกระแส-แรงดัน ของตัวตรวจวัดแสงโครงสร้าง Al/n-Si/Al แบบอินเตอร์ดิจิตัลที่มีระยะห่างขั้วไฟฟ้าขนาดสั้น
0049	CM 03	สายอากาศมัลติ-อินพุต มัลติ-เอาต์พุตโดยใช้แพทช์แฟร็กทัลมินิคอปฟลักซ์ร่วมกับโครงสร้างสตันรูปตัว H สำหรับการประยุกต์ใช้เครือข่าย
0050	PH 02	การศึกษาสภาพการตอบทางแสงและประสิทธิภาพควอนตัม ของตัวตรวจวัดแสงโครงสร้าง Al/n-Si/Al
0051	CT 04	Inter-digital Capacitive Sensor Based Concentration Measurement of Sodium Hydroxide Solution
0052	PW 06	A New Adaptive Digital Relay Analysis to Tackle Recloser and Fuse Miscoordination on 115 kV System During
0053	GN 07	เรือสำรวจควบคุมด้วยสมาร์ตโฟนเพื่อหาตำแหน่งไฟรั่ว
0055	PE 08	การปรับปรุงอัตราขยายแรงดันของวงจรควดเดรตคิคุสต์คอนเวอร์เตอร์ด้วยชุดตัวเหนี่ยวนำสวิตช์
0056	GN 08	การพัฒนากระบวนการหลอมพลาสมาดิจิทัลเซลล์ด้วยหลักการเหนี่ยวนำความร้อน
0057	GN 09	Study on Promoting the Development of Net-zero Energy Buildings in Thailand
0059	CT 05	การระบุเอกลักษณ์พารามิเตอร์ของมอเตอร์เหนี่ยวนำหนึ่งเฟสสำหรับปั๊มรุ่น ACH-375S
0060	GN 10	การควบคุมวงจรอินเวอร์เตอร์ PWM เฟสเดียวที่เชื่อมต่อกับรีดเอชซีด้วย TMS320F28335

0061	CM 04	การพัฒนาภาคส่งสำหรับการสื่อสารด้วยแสงที่มองเห็นได้ที่ใช้การมอดูเลตแบบ VPPM
0062	PE 09	วงจรแปลงผันกำลังไฟฟ้ากระแสตรงเป็นกระแสตรงแบบสวิตซ์เดี่ยวที่ลดทอนแรงดันได้สูงและวิธีการควบคุม
0063	PE 10	วงจรทรานส์ฟอร์มเมอร์แบบสวิตซ์เดี่ยวอัตราขยายแรงดันสูงที่มีการควบคุมแรงดันเอาต์พุต
0064	PE 11	อุปกรณ์จำกัดกระแสลัดวงจรชนิดวงจรรีดจ์แบบหลายเซลล์ สำหรับระบบจำหน่ายไฟฟ้า
0065	CT 06	แบบจำลองคณิตศาสตร์และการควบคุมแรงของระบบอกสูบไฮดรอลิกด้วยตัวควบคุมพีซีซี
0066	PW 07	การออกแบบตัวควบคุมที่เหมาะสมที่สุดของวงจรเรียงกระแสสามเฟสแบบควบคุมได้ที่มีโหลดเป็นวงจรแปลงผันแบบบuckโดยใช้วิธีการฯ
0067	CM 05	สายอากาศโมโนโพลรูปขวดโหลสำหรับประยุกต์ใช้งานย่าน WLAN/WiMAX
0068	PW 08	การปรับปรุงขั้นตอนวิธีนิวตันราฟสันโดยพิจารณาเครื่องกำเนิดไฟฟ้าเหนี่ยวนำ
0070	GN 11	รถประหยัดพลังงานไฟฟ้าจากแบตเตอรี่สำหรับการแข่งขัน Shell Eco-marathon 2014-15
0072	EL 03	วงจรกรองอันดับหกแบบซิมอสสำหรับเครื่องวัดคลื่นหัวใจที่ใช้ไฟเลี้ยง 1 โวลต์และกินกำลังงาน 7.7 นาโนวัตต์
0073	PE 12	การทดสอบการควบคุมเชิงเวกเตอร์ของเครื่องกำเนิดไฟฟ้าเหนี่ยวนำป้อนด้วยเมตริกซ์คอนเวอร์เตอร์สำหรับพลังงานหมุนเวียน
0075	CM 06	การออกแบบและสร้างวงจรกรองผ่านแถบความถี่ในท่อนำคลื่นด้วยวิธีการวนรอบของคลื่น
0076	CP 01	Performance Comparison of COPRTHR and Epiphany SDK on Heterogeneous Computing Platform
0077	GN 12	Design and Analysis of Gigahertz Transverse Electromagnetic Cell for Electromagnetic Compatibility Test ฯ
0078	EL 04	เทคนิคการหาค่าโอดแปลงแสงที่สนับสนุนการสื่อสารทางแสง
0079	EL 05	วงจรถักควบคุมพีไอดีแบบยึดหยุ่น
0080	BE 02	การแบ่งส่วนภาพอัลตราซาวด์โดยใช้แบบจำลองเส้นรอบขอบที่เคลื่อนที่ร่วมกับเวกเตอร์การไหลของขอบภาพ
0081	CM 07	เครื่องรับ MLD แบบมีความซับซ้อนต่ำสำหรับการเข้ารหัส STBC ที่มีไดเวอร์ซิตีชนิดเต็มและอัตราสูงสำหรับระบบสื่อสารข้อมูลฯ
0082	PW 09	เครื่องหาคุณลักษณะ I-V ของแผงเซลล์แสงอาทิตย์ภาคสนามที่ประยุกต์ใช้ MOSFET เป็นอิเล็กทรอนิกส์โหลด
0084	CM 08	การออกแบบสายอากาศสองแถบความถี่รูปคล้ายอักษร "G" แบบแถวลำดับสำหรับการใช้งานกับอุปกรณ์เครือข่ายแบบไร้สาย
0086	EL 06	ผลความเข้มของซิงค์อะไซด์ไดโอดเรดที่มีต่อลักษณะโครงสร้างผลึกฟิล์มบางนาโนซิงค์ออกไซด์โดยกระบวนการโซล - เจลฯ
0087	PE 13	การขับเคลื่อนมอเตอร์เหนี่ยวนำสองเฟสแบบฟาร์มิเตอร์ไม่สมมาตรที่ใช้พลังงานแสงอาทิตย์ด้วยอินเวอร์เตอร์แหล่งจ่ายแรงดันฯ
0088	GN 13	การพัฒนาแบบตรวจวัดค่าคาร์บอนมอนอกไซด์โดยใช้ก๊าซเซนเซอร์ชนิดสารกึ่งตัวนำโลหะออกไซด์
0089	GN 14	การออกแบบและสร้างวงจรเมตริกซ์คอนเวอร์เตอร์สองเฟสเพื่อใช้ในการขับเคลื่อนมอเตอร์เหนี่ยวนำสองเฟส
0090	GN 15	การออกแบบและสร้างเครื่องให้ความร้อนหลักโดยอาศัยการเหนี่ยวนำ
0091	GN 16	การศึกษาเปรียบเทียบชนิดสัญญาณแฉิ่งฮิป SWPM และ HIPWM วงจรอินเวอร์เตอร์ไดโอดแคลมป์ 5 ระดับ
0094	PW 10	การศึกษาเปรียบเทียบสัญญาณการเกิดดีสชาร์จบางส่วน ในหม้อแปลงไฟฟ้ากำลังงานน้ำมันด้วยอัลตราโซนิคและอะคูสติกเซนเซอร์
0096	CT 07	การยกตัวแวนรนามด้วยสนามแม่เหล็กแบบ 4 จุด ด้วยวิธีอินเตอร์แอคทีฟ อินพุต-เอาต์พุต
0097	PE 14	การศึกษาคอนเวอร์เตอร์แบบสองทิศทางสามเฟสกับมอเตอร์ไฟฟ้ากระแสตรงด้วยเทคนิคอินเวอร์ตัส
0098	PW 11	การวินิจฉัยจำนวนของเครื่องกำเนิดไฟฟ้าด้วยวิธีการวัดกระแสโพลาริไซซ์และกระแสดีโพลาริไซซ์
0101	PE 15	การศึกษาเปรียบเทียบความเพี้ยนฮาร์โมนิกในอินเวอร์เตอร์ 7 ระดับชนิดไดโอดแคลมป์โดยใช้เทคนิคการมอดูเลตความกว้างฯ
0102	PE 16	ระบบผลิตไฟฟ้าจากพลังงานแสงอาทิตย์เชื่อมต่อกับระบบจำหน่ายโดยใช้อินเวอร์เตอร์โครงสร้างแอคทีฟนิวทรัลพอยท์แคลมป์
0103	BE 03	เครื่องจำลองการขยายตัวของช่องอกเชิงกล
0104	CP 02	Using New Generation I2C-RFID Wireless Sensors Node for Smart Farming purposes
0105	GN 17	การออกแบบ Nd: YAG เลเซอร์กำลังสูงที่มีลำแสงขนาดเล็ก
0106	GN 18	การวิเคราะห์เปรียบเทียบประเมินผลระบบผลิตไฟฟ้าพลังงานแสงอาทิตย์ติดตั้งบนหลังคาชนิด 3 เฟส และ 1 เฟส
0108	EL 07	การศึกษาการหาค่าตัวแปรของรอยสัมผัสชนิดกึ่งไดโอด โครงสร้าง Al/n-Si ด้วยเทคนิคต่างๆ
0109	CM 09	สายอากาศขนาดกะทัดรัดแบบวงแหวนสองพอร์ดสำหรับประยุกต์ใช้กับระบบ MIMO-UWB
0110	PW 12	กำลังผลิตติดตั้งสูงสุดของโรงไฟฟ้าพลังงานแสงอาทิตย์สำหรับประเทศไทย โดยพิจารณาการตอบสนองความถี่ของระบบไฟฟ้ากำลัง
0111	PW 13	ผลกระทบของหม้อแปลงไฟฟ้าที่ใช้ในแหล่งจ่ายไฟแบบเชิงเส้นที่มีต่อสมรรถนะต่างๆ ทางไฟฟ้า และการประหยัดพลังงานฯ
0112	GN 19	การพัฒนาสื่อการจำลองวงจรสายส่งแบบไมโครสตริปด้วยวิธีการวนรอบของคลื่น
0114	DS 02	A Frequency-Domain Oversampling Technique for LTE Downlink Systems
0115	GN 20	การศึกษาแบบจำลองพลวัตและการออกแบบระบบควบคุมของฟลายแบคอินเวอร์เตอร์แบบขนานสำหรับอินเวอร์เตอร์ฯ
0116	CM 10	การใช้งานไมโครคอนโทรลเลอร์ ARM สำหรับเอฟเอ็มเอสเตอร์ไอโอดเดอร์
0117	GN 21	การพัฒนาเครื่องมือทดสอบหน้าสัมผัสสำหรับรถไฟฟ้ายกระดับ
0118	CP 03	การปรับแต่งค่าพารามิเตอร์ทางระบาดวิทยาพยากรณ์โดยการเขียนโปรแกรมทางพันธุศาสตร์
0120	PW 14	แบบจำลองระบบการต่อลงดินของหม้อแปลงไฟฟ้าและ MDB เพื่อวัดความต้านทานการต่อลงดิน ด้วยวิธี Clamp-On
0121	CM 11	การคำนวณค่าการเชื่อมต่อร่วมของสายอากาศแถวลำดับรองบนโครงทรงกระบอกซ้อนกัน
0123	EL 08	วงจรถักควบคุมพีไอดีแบบปรับค่าได้โดยใช้หลักการของวงจรถักโอดเมน
0125	PE 17	การศึกษาการปรับกำลังไฟฟ้าวงรีดีซี-ดีซี คอนเวอร์เตอร์เต็มบริดจ์แบบผสมที่มีการสวิตซ์แบบนุ่มนวลโดยใช้ตัวเก็บประจุลัดกึ่ง
0128	PW 15	การหาค่าโคอินซิเดนซ์แฟกเตอร์ที่เหมาะสมต่อการออกแบบติดตั้งหม้อแปลงไฟฟ้าในระบบจำหน่ายสำหรับผู้ไฟฟ้าประเภทฯ

0131	CP 04	การจำแนกข้อมูลพื้นที่ภาพถ่ายดาวเทียมด้วยโครงข่ายประสาทเทียมแบบเพอร์เซพตรอนหลายชั้น
0132	PE 18	การศึกษาวจรสมมูลของแบตเตอรี่สำหรับระบบกักเก็บพลังงานในโครงข่ายไฟฟ้า
0136	GN 22	เครื่องวิเคราะห์คุณภาพและค่าไฟฟ้าพัฒนาด้วยโปรแกรมแลปวิว
0137	GN 23	โต๊ะเขย่าจำลองการเกิดแผ่นดินไหวแบบ 2 มิติ
0138	CP 05	การตรวจจับการรั่วไหลของแก๊สโดยแบบจำลองโครงข่ายประสาทเทียม
0139	GN 24	การวิเคราะห์ความแม่นยำในการประยุกต์ใช้โครงข่ายประสาทเทียมในการพยากรณ์รังสีแกมมาที่ผลิตโดย Levenberg - Marquardt
0140	EL 09	การศึกษาลักษณะของหัววัดพลังงานรังสีแบบสองมิติ
0144	PW 16	กรณีศึกษาการทำ Linearity Test สำหรับระบบการวัดแรงดันอิมพัลส์แบบฟ้าผ่า
0146	PW 17	การออกแบบโรบอติกส์คอลลิมเนชันวงจรพิมพ์แบบผสมผสานเพื่อใช้ตรวจจับการปลดปล่อยประจุบางส่วน
0147	PW 18	การทดสอบอินเวอร์เตอร์สำหรับพลังงานแสงอาทิตย์ตามมาตรฐาน IEC 62116 : 2008
0148	DS 03	การพัฒนาเทคนิคการหาขอบแบบใหม่ด้วยพาดิโคลสวอมออปติคัลสำหรับตรวจสอบรอยเชื่อมอัตโนมัติ
0149	DS 04	การพัฒนาตัวกรองสัญญาณรบกวนสำหรับเทคนิคการไหลของแสงโดยใช้ขั้นตอนวิธีเชิงพันธุกรรม
0150	CM 12	การศึกษาลักษณะคุณสมบัติของสายอากาศแบบร่องเปิดสี่เหลี่ยมแบบไม่สมมาตรที่ป้องกันสายนำสัญญาณระนาบร่วมแบบไม่สมมาตร
0151	GN 25	สนามไฟฟ้า การไหล และ อุณหภูมิ ในห้องฆ่าเชื้อแบบสนามไฟฟ้าในทิศทางไหล
0152	BE 04	ระบบเชื่อมต่อนุษย์กับคอมพิวเตอร์ด้วยสัญญาณไอจีสำหรับการสื่อสารของผู้พิการขั้นรุนแรง
0153	GN 26	การพัฒนากระบวนการนำทางของอากาศยานอัตโนมัติไร้คนบังคับ ด้วยตัวควบคุมพีซีซีพีดีพีเอสไอ
0154	GN 27	A Strategy to Reduce Torque Ripple in DTC of Single-phase Induction Motor Drives by Using Zero-Voltage Vector
0155	CM 13	การปรับจูนสายอากาศโมโนโพลแบบแกลลวาล์วสี่เหลี่ยมผืนผ้าที่มีการเข้าร่องรูปลูกศรด้วยเทคนิคการเพิ่มสลับและเข้าร่อง
0156	DS 05	การเพิ่มประสิทธิภาพการรู้จำภาพโดยใช้การแปลงฟูเรียร์อย่างเร็วร่วมกับซัพพอร์ตเวกเตอร์แมชชีนบนพื้นฐานของฟังก์ชันการตัดสินใจ
0157	PW 19	การศึกษาลักษณะของค่าองค์ประกอบต่างๆ ที่มีผลต่อ Overshoot รูปคลื่นแรงดันอิมพัลส์ 1.2/50 μ s
0158	DS 06	การนับและตรวจสอบวัตถุแปลกปลอมและทับซ้อนในสัญญาณโดยใช้การประมวลผลภาพ
0159	PH 03	Efficiency Improvement of HAMR Light Delivery System using an Embedded Reflector
0160	GN 28	อุปกรณ์วัดช่วงอาร์ซีไอดีประสิทธิภาพสูงราคาถูกลงความถี่วีเซชเอพ
0161	PW 20	การจำลองระบบการทำงานของเครื่องปรับอากาศที่มีระบบการบริหารจัดการพลังงาน
0162	EL 10	A New Bipolar Four-Quadrant Analog Multiplier
0163	PH 04	Electrical Characteristics of LEDs for Visible Light Communication
0165	PW 21	Influence of Burden of Current Transformer on the High Frequency Current Measurement
0167	CM 14	สายอากาศระนาบแบบช่องเปิดความถี่กว้างที่กำจัดแถบความถี่หยุดโดยใช้สตริปเส้นตรง
0168	GN 29	การระบุนอกลักษณะระบบควบคุม pH ด้วยแบบจำลองไม่เชิงเส้น Hammerstein-Wiener
0169	DS 07	การตัดแยกและนับเซลล์โซมาติกในน้ำนมโคด้วยวิธีการโทของบริเวณโดยการรวมกลุ่มฟิกเชิล
0171	PE 19	อินเวอร์เตอร์แบบห้ากึ่งโดยใช้เทคนิคสเปกตรัมสำหรับควบคุมความเร็วโคจรที่เป็นอิสระต่อกันของมอเตอร์เหนี่ยวนำ
0172	PE 20	ศึกษาราคาควบคุมระบบจ่ายไฟแบบไฮบริดของเซลล์เชื้อเพลิงร่วมกับแบตเตอรี่และซูเปอร์คาปาซิเตอร์
0173	PW 22	การประมาณเอมพีแอนด์ซีด้วยการค้นหาแบบเชิงปรับตัวและใช้โครงข่ายประสาทเทียมเรียนรู้การทางานของมอเตอร์ซิงโครนัส
0174	PW 23	การควบคุมกำลังไฟฟ้าจริงและเสมือนของฟาร์มโซลาร์ด้วยตัวควบคุมที่โอทีที่เหมาะสมเพื่อลดการแกว่งของกำลังไฟฟ้าและแรงดันไฟฟ้า
0176	GN 30	การศึกษาลักษณะอิมพีแดนซ์ของตัวเก็บประจุไฟฟ้าชนิดแผ่นคู่ขนานโดยอากาศเป็นไดอิเล็กทริก GR 1403 ด้วยเทคนิคการวัด
0177	PE 21	การควบคุมแบบไม่เชิงเส้นสำหรับวงจรสวิตช์คอนเวอร์เตอร์ชนิดเชื่อมกระแสหลายเฟสเข้ากับระบบไฟฟ้าหลักโดยมีโซลาเซลล์
0178	PE 22	แบบจำลองทางคณิตศาสตร์ของการดับปลิงระหว่างขดลวดของระบบส่งกำลังไฟฟ้าแบบไร้สาย
0180	PE 23	แหล่งจ่ายกำลังแบบไฮบริดของเซลล์เชื้อเพลิงและแบตเตอรี่สำหรับอุปกรณ์เคลื่อนที่
0181	CM 15	การใช้ทาร์เก็ตสองมิติแบบไม่สมมาตรในช่องสัญญาณการบ่งชี้ที่มีค่าน้อยแบบ Staggered
0182	PW 24	ระบบการบริหารจัดการพลังงานอัจฉริยะภายในบ้าน
0184	PW 25	การปรับปรุงระบบตรวจจับอาร์คสำหรับตรวจสอบเมทอลเคลดสวิตช์เกียร์ 22 กิโลโวลต์ที่ติดตั้งภายในอาคาร
0185	PE 24	การมอดูเลตแบบซิวเดียวสำหรับเมทริกซ์คอนเวอร์เตอร์
0187	CM 16	เทคนิคการจัดสรรความถี่สำหรับเครือข่ายพหุโพลีในอาคารโดยใช้การโปรแกรมเชิงเส้นจำนวนเต็ม
0188	PW 26	การหาค่าพารามิเตอร์โอทีที่เหมาะสมของตัวควบคุมคอนเวอร์เตอร์สำหรับอุปกรณ์สะสมพลังงานแม่เหล็กที่ใช้ตัวนำยิ่งยวด
0189	CM 17	การจัดสรรความถี่ของสัญญาณระบบโทรศัพที่เคลื่อนที่จีเอสเอ็มเพื่อรองรับการใช้งานในเหตุการณ์พิเศษ โดยวิธีเชิงพันธุกรรม
0191	PE 25	วิธีการลดการกระเพื่อมของแรงบิดอย่างง่ายสำหรับการควบคุมแบบคาดคะเนแรงบิดล่วงหน้าของมอเตอร์ซิงโครนัสแม่เหล็กถาวร
0192	PW 27	การออกแบบตัวนำวงจรแกว่งกำลังไฟฟ้าของกังหันลมที่ใช้เครื่องกำเนิดไฟฟ้าเหนี่ยวนำชนิดป้อนสองทางและตัวชดเชยกำลัง
0193	PW 28	ต้นแบบความถี่ของแม่เหล็กของมอเตอร์เหนี่ยวนำสามเฟส เมื่อแหล่งจ่ายแรงดันไฟฟ้าไม่สมดุล
0194	EL 11	A 0.25-V, 64-nW, Subthreshold MOS Analog Multiplier Using Single-Transistor Exponential Cells
0195	PW 29	การประยุกต์ใช้ขดลวดตัวนำยิ่งยวดที่เหมาะสมซึ่งติดตั้งในเครื่องกำเนิดไฟฟ้าด้วยพลังแสงอาทิตย์เพื่อปรับปรุงความสามารถ
0197	PW 30	ระบบแสดงการใช้พลังงานไฟฟ้าแบบไม่ติดตั้งเครื่องวัดรูกำลังไฟฟ้าสำหรับเครื่องปรับอากาศแบบยกส่วนภายในบ้าน

0198	DS 08	การตรวจสอบการวางมือของอุปกรณ์วัดขนาดมือแบบไร้หมุดกำกับ
0199	GN 31	ระบบแจ้งเตือนเด็กติดค้างในรถรับส่งนักเรียนผ่าน SMS
0201	GN 32	แรงลมเป่าต่ำสุดที่ทำให้เกิดเสียงของขลุ่ยเพียงออ
0202	GN 33	การวิเคราะห์เสียงขลุ่ยเพียงออโดยใช้แบบจำลองถดถอยด้วยตัวเอง
0203	EL 12	โมเดลการวัดความเร็วรอบมอเตอร์แบบไม่สัมผัสด้วยเลเซอร์ไดโอด
0205	PW 31	การจัดการพลังงานสำหรับระบบเซ็นเซอร์โหนดไร้สายพลังงานแสงอาทิตย์
0206	CM 18	การศึกษาขอบเขตการแผ่กระจายกำลังคลื่นของสายอากาศแพทช์แบบวงกลมขนาดเล็กสำหรับวัดคุณสมบัติไดอิเล็กตริกของน้ำกลั่น
0207	BE 05	Segmentation of the Ventricle Boundary from CT Brain Image
0208	PW 32	การควบคุมการชาร์จประจุยานพาหนะไฟฟ้าแบบปรับตัวสำหรับทำเสถียรภาพความถี่โครงข่ายไฟฟ้าอัจฉริยะ
0212	PE 26	การควบคุมกำลังไฟฟ้าสำหรับอินเวอร์เตอร์สามเฟสชนิดเชื่อมโยระบบไฟฟ้าโดยใช้อัลกอริทึมการควบคุมแบบทำนายค่ากระแสไฟฟ้า
0217	PW 33	เครื่องลดคลื่นฮาร์มอนิกในตัวเครื่องสร้างโอโซนด้วยวงจรอิเล็กทรอนิกส์กำลัง
0219	PE 27	การควบคุมความเร็วมอเตอร์เหนี่ยวนำ 3 เฟส 2 ตัว ด้วยเทคนิคเวกเตอร์ทางอ้อมไร้เซ็นเซอร์กระแสกับเดาแผนูนซีเมนต์เดียว
0220	BE 06	การจำแนกสัญญาณคลื่นไฟฟ้าสมองในการจินตนาการเคลื่อนไหวด้วยโครงข่ายประสาท
0223	CP 06	การออกแบบโปรแกรมชดเชยข้อผิดพลาดสำหรับการถ่ายภาพภาพบำบัดผู้ป่วยข้อเข่าเสื่อมโดยใช้เซ็นเซอร์ตรวจจับการเคลื่อนไหว
0224	PE 28	การเปลี่ยนค่าตัวชี้วัดใน การติดตามค่ากำลังไฟฟ้าสูงสุดแบบ P&O โดยใช้ตัวควบคุมแบบสัดส่วนสำหรับกังหันลมขนาดเล็ก
0225	GN 34	การประยุกต์ใช้หลักการส่งสัญญาณตามข้อจำกัดด้านเวลาเพื่อลดต้นทุนพลังงานในระบบโลจิสติกส์
0226	PE 29	อินเวอร์เตอร์ไร้เซ็นเซอร์ความถี่สูง สำหรับงานให้ความร้อนเฉพาะจุดแบบเหนี่ยวนำ
0231	EL 13	การผลิตเซลล์แสงอาทิตย์ชนิดซีเลคทีฟอิมิตเตอร์ ด้วยเทคนิคพิมพ์ลาย
0233	PW 34	การตรวจจับและจำแนกความผิดปกติของสายส่งโดยใช้เวฟเลตคู่กับระบบโครงข่ายประสาทเทียม
0234	DS 09	การถ่ายภาพเอกซเรย์เซอร์กิตเบรกเกอร์กำลังแรงดันสูงด้วยวิธีการประมวลผลภาพดิจิทัล
0235	PW 35	การศึกษาผลของการจัดวางตำแหน่งสายตัวนำในระบบจำหน่ายแบบรูป วงจรคู่ที่มีผลต่อขนาดแรงดันที่บัสโหลด
0237	PW 36	การหาคุณลักษณะของกับดักฟ้าผ่าชนิดแฟลชยาว ที่ ระยะ Gap ต่างๆ โดยใช้แรงดันไฟฟ้าอิมพัลส์
0238	PW 37	การหาค่าเบรกดาวของจนวนนาโนคอมโพสิทออกไซด์ผสมกับอีพ็อกซีเรซินโดยใช้แรงดันไฟฟ้าอิมพัลส์
0240	GN 35	การพัฒนาออกแบบอุปกรณ์วัดและแสดงผลการใช้พลังงานในยานยนต์ไฟฟ้าโดยใช้ไมโครคอนโทรลเลอร์
0243	PW 38	การพยากรณ์ความตึงเครียดไฟฟ้าสูงสุดระยะยาว โดยใช้ระบบอนุमानนิเวศ-พีชซีแบบปรับตัวได้
0245	PW 39	การออกแบบเครื่องกำเนิดไฟฟ้าพลังงานน้ำโดยแรงโน้มถ่วงของโลกของระบบส่งน้ำในอาคาร
0247	PW 40	การย้ายบัสแบบอัตโนมัติสำหรับสถานีไฟฟ้า 22 กิโลโวลต์ เมื่อหม้อแปลงทรูป
0248	PW 41	การผลิตพลังงานไฟฟ้าจากคลื่นทะเล
0249	BE 07	การพัฒนาแบบพินฟูสมรรถภาพแขนด้วยไบโอฟีดแบคสำหรับผู้ป่วยอัมพาตครึ่งซีก
0250	PW 42	การปรับปรุงวิธีระบุตำแหน่งความผิดปกติในระบบ 115 kV ในรูปแบบพิกัดทางภูมิศาสตร์
0251	PE 30	วิธีประมาณความเร็วและตำแหน่งสำหรับมอเตอร์ซิงโครนัสชนิดแม่เหล็กถาวรที่มีเสถียรภาพวงกว้างโดยอาศัยแบบจำลองลดอันดับ
0252	PW 43	การระบุตำแหน่งความผิดปกติในระบบ 22 kV ในรูปแบบพิกัดทางภูมิศาสตร์
0253	PE 31	การใช้งานหม้อแปลงอิเล็กทรอนิกส์กำลังในโซลาร์ฟาร์มด้วยวงจรมอดูลาร์มัลติเลเวลอินเวอร์เตอร์
0254	CP 07	การปรับปรุงอัลกอริทึมของเครือข่ายประสาทเทียมแบบพรีคัมมิสชันเน็ทด้วยเทคนิคอัตราการเรียนรู้ที่ปรับตัวได้ร่วมกับ
0255	GN 36	การศึกษาคุณสมบัติทางไฟฟ้าของเซลล์แสงอาทิตย์ในสภาวะมีฝุ่น และความชื้น
0256	PW 44	การวิเคราะห์หม้อแปลงเฟสเดียวโดยวิธีไฟไนต์เอลิเมนต์
0257	PW 45	การพัฒนาต้นแบบตัวหน่วงการแกว่งกำลังไฟฟ้าสำหรับกังหันลมที่ใช้เครื่องกำเนิดไฟฟ้าเหนี่ยวนำชนิดป้อนสองทางด้วยอุปกรณ์ลอจิก
0258	GN 37	ระบบแสดงผลค่าแรงดันและความถี่แบบเรียลไทม์
0259	GN 38	การศึกษาความเป็นไปได้ของการติดตั้งระบบผลิตไฟฟ้าพลังงานแสงอาทิตย์บนหลังคาภายในสนามบิน
0262	BE 08	การพัฒนาแบบจำลองตัวบ่งชี้ทางชีวภาพในลมหายใจแบบพกพาโดยใช้เซ็นเซอร์อาร์เรย์ร่วมกับระบบประมวลผลภาพด้วย FPGA
0264	CT 08	การพัฒนาตามแบบจำลองของชุดขับเคลื่อนสำหรับเครื่องช่วยฝึกเดิน
0266	PW 46	การศึกษาระดับคุณภาพไฟฟ้าจากผู้ผลิตพลังงานไฟฟ้าขนาดเล็กมาก ที่เชื่อมโยงเข้ากับระบบจำหน่ายของ กฟภ. กรณีผู้ผลิตไฟฟ้า
0267	CT 09	การศึกษาและจำลองระบบแขนกล SCARA โดยใช้วิธีของตัวสังเกตสัญญาณรบกวนและมีการชดเชยแรงเสียดทานภายในระบบ
0268	PE 32	การมอดูเลตความกว้างพัลส์แบบซูปเปอร์อิมโพสแคเรียร์สำหรับอินเวอร์เตอร์หลายระดับชนิดไดโอดแคปมี
0270	CT 10	การควบคุมตำแหน่ง และแรงของหุ่นยนต์สกาล่าโดยใช้ตัวสังเกตการณ์การรบกวน
0273	PE 33	การสร้างแบบจำลองด้วย MATLAB/Simulink บนฐานของวิธีการเวทริกซ์สำหรับเมทริกซ์คอนเวอร์เตอร์
0276	DS 10	Evaluation of Generation and Contrast Resolution in Potential of Improving Ultrasound Image Quality by using
0277	PE 34	เครื่องอัดประจุแบตเตอรี่รถยนต์จำลองไร้สาย
0278	PW 47	สมรรถนะของเครื่องกำเนิดไฟฟ้าเหนี่ยวนำชนิดกระตุ้นตัวเองผนวกอิเล็กทรอนิกส์โหลดคอนโทรลเลอร์ภายใต้การสับโหลด
0279	DS 11	Advanced Adaptive Frequency-domain Linear Equalisation in Single-Carrier FDE
0281	GN 39	ระบบตรวจสอบและติดตามประสิทธิภาพการทำงานประจำตัวแผงโซลาร์เซลล์ผ่านระบบเครือข่ายไร้สาย

0282	GN 40	ระบบควบคุมสมรรถนะพลังงานสำหรับการปลูกฝังแบบไฮโดรโปนิกส์ที่สามารถจัดการการจ่ายกำลังไฟฟ้าสามแหล่งจ่าย
0284	PW 48	การศึกษาการสร้างพลังงานไฟฟ้าด้วยการออกแบบร่วมระหว่าง กังหันลมเซเวเนียร์กับ โซลาร์เซลล์
0290	GN 41	การส่งพลังงานไฟฟ้าสู่ระบบจ่ายกำลังไฟตรงสำหรับบ้าน ด้วยกังหันลมผลิตไฟฟ้า
0292	CP 08	ประสิทธิภาพของการประมวลผลด้วย Apache Mahout บน Apache Hadoop Cluster
0293	CM 19	สายนำสัญญาณสตรีปไลน์ที่ใช้ระนาบกราวด์โครงสร้างช่องว่างแถบความถี่แม่เหล็กไฟฟ้า
0296	GN 42	การรักษาสมดุลการเย็นในหุ่นยนต์เสมือนมนุษย์จากแรงภายนอก
0297	GN 43	วิธีการอย่างง่ายด้วยวิธีระบบแบบกำหนดขอบเขตสูงสุด-ต่ำสุดสำหรับการวางแผนเส้นทางเดินของหุ่นยนต์
0298	PW 49	แบบจำลองทางคณิตศาสตร์เวลาจริงของโมดูลเซลล์แสงอาทิตย์สำหรับเทคโนโลยีผลึก
0299	PW 50	ชุดสวิตช์เครื่องกำเนิดไฟฟ้า 3 เฟส แบบเส้นแรงแม่เหล็กไหลตามแนวแกนเพลลา
0302	CM 20	การควบคุมการส่งผ่านและการสะท้อนคลื่นด้วยตัวออสซิลเลเตอร์แบบไฮเปอร์โบลิก
0303	PW 51	Harmonic Distortion Analysis of the Existing Industries and Reference signal for Harmonics Simulator
0304	GN 44	การวิเคราะห์และการออกแบบการเปรียบเทียบความส่องสว่างของหลอดไฟ เพื่อความปลอดภัยบนถนน
0305	PW 52	การตรวจวัดดีเอสอาร์บางส่วนเพื่อหาตำแหน่งโดยใช้เทคนิคทางเสียงและโปรแกรมแลปวิว
0306	PW 53	กรณีศึกษาของการปรับปรุงระบบควบคุมอัตโนมัติในโรงงานอุตสาหกรรมโดยใช้พีแอลซี
0307	PH 05	ผลกระทบของแกนเซออร์ต่อความไวในการรับของไฮโดรโฟนชนิดแมกเนตริกอินเดเพนเดนท์
0312	PW 54	การประเมินสมรรถนะการป้องกันฟ้าผ่าระบบสายส่งย่อยของ กฟน.
0313	BE 09	การพัฒนากระบวนการวิเคราะห์สัญญาณคลื่นไฟฟ้าหัวใจในเวลาจริง